

طراحی و بهینه‌سازی تست PCR برای تشخیص سریع پاتوتایپ‌های انتروآگریگتیو و انتروتوكسیژنیک اشرشیاکلی

محمد سلیمانی^۱، عباس مروتی^{۲*}، علی جوادی^۳

چکیده

زمینه و هدف: اشرشیاکلی به عنوان یکی از مهم‌ترین عوامل ایجاد‌کننده بیماری اسهالی حاد در دنیا مطرح است. بیماری‌های اسهالی یکی از علل اصلی مرگ و میر در میان کودکان کشورهای در حال توسعه می‌باشند. این مطالعه با هدف توسعه تکنیک PCR برای تشخیص اختصاصی ژن‌های ویرولانس پاتوتایپ‌های انتروتوكسیژنیک اشرشیاکلی (ETEC) و انتروآگریگتیو و اشرشیاکلی (EAEC) انجام شد.

روش بودرسی: در این مطالعه برای تشخیص پاتوتایپ‌ها ETEC-EAEC، از ژن‌های اختصاصی st و lt (برای تشخیص پاتوتایپ ETEC) و از ژن اختصاصی aafII (برای شناسایی پاتوتایپ EAEC) استفاده شد. این تکنیک PCR برای این سه ژن طراحی و بهینه گردید. محصولات واکنش برای هریک از این ژن‌ها، در وکتور pTZ57R/T به عنوان کنترل مثبت، کلون و مورد استفاده قرار گرفت. میزان حساسیت پرایمرها با محاسبه کمترین میزان تشخیص (Limit of Detection) و استفاده از ژنوم سایر باکتری‌ها به عنوان بررسی اختصاصیت پرایمرها ارزیابی شد.

یافته‌ها: با توجه به نتایج آنالیز محصولات PCR بر روی ژل الکتروفورز باندهای مورد نظر برای ژن aafII و lt به ترتیب ۳۸۴، ۴۵۹ و ۱۵۰ جفت باز به دست آمد. همچنین واکنش ژنوم باکتری‌های کنترل با پرایمرهای طراحی شده، منفی بود. حد تشخیص براساس تعداد کپی برای ژن‌های lt، st و aafII به ترتیب برابر ۳۹۰، ۱۵۰۰ و ۲۵۰۰ کپی به دست آمد.

نتیجه‌گیری: با توجه به نتایج این مطالعه، طراحی این گونه تست‌ها در ایران به عنوان یک پیشرفت در زمینه بهبود تشخیص سریع و دقیق پاتوژن‌ها و تفکیک در نوع پاتوتایپ‌های اشرشیاکلی می‌باشد.

کلید واژه‌ها: اشرشیاکلی؛ واکنش زنجیره‌ای پلیمراز؛ اسهال.

* گروه میکروب‌شناسی، واحد قم،
دانشگاه آزاد اسلامی، قم، ایران.

گروه میکروب‌شناسی، باشگاه پژوهشگران جوان و نخبگان، واحد قم،
دانشگاه آزاد اسلامی، قم، ایران.

گروه پاتوبیولوژی، دانشکده بهداشت،
دانشگاه علوم پزشکی تهران، تهران،
ایران.

^{*} نویسنده مسئول مکاتبات:
عباس مروتی، گروه میکروب‌شناسی،
باشگاه پژوهشگران جوان و نخبگان،
 واحد قم، دانشگاه آزاد اسلامی، قم،
 ایران؛

آدرس پست الکترونیکی:
abbasmorovvati@gmail.com

تاریخ دریافت: ۹۴/۱۰/۱

تاریخ پذیرش: ۹۴/۱۱/۱۴

لطفاً به این مقاله به صورت زیر استناد نمایید:

Soleimani M, Morovvati A, Javadi A. Design and optimization of per assay for rapid detection of enterotoxigenic and enteroaggregative pathotypes of *E. Coli*. Qom Univ Med Sci J 2016;10(10):25-33. [Full Text in Persian]

مقدمه

مشخص گردید ژن *AAF-II* اکثرًا در بیماری‌زایی آن نقش دارد که توسط پلازمید *pAA* کد شده و با اتصال به لوکوس‌های روده‌ای منجر به اسهال می‌شود. پلاسمید *AA* در این باکتری با کد کردن ژن‌های *aafII* باعث ایجاد و توانایی اتصال پاتوتایپ به پوشش روده می‌شود (۱۰). پاتوتایپ‌های *DAEC* و *EIEC* نیز در بین پاتوتایپ‌ها، کمتر باعث بروز بیماری می‌شوند (۱۱). تشخیص پاتوتایپ‌های *E. coli* در کشورهای درحال توسعه، بسیار محدود بوده و امکان‌پذیر نیست؛ زیرا روش‌های میکروب‌شناسی سنتی قادر به ایجاد تمایز در بین این سویه‌ها نبوده و این روش‌ها اغلب بسیار وقت‌گیر و طاقت‌فرسا می‌باشد. ولی با ظهور تکنیک‌های مولکولی در کشورهای مختلف، این امکان برای تشخیص این پاتوتایپ‌ها از یکدیگر وجود دارد. مطالعات و تکنیک‌های مختلفی برای تشخیص این پاتوتایپ‌ها انجام شده، ولی این روش‌ها متدهایی نیستند که در آزمایشگاه‌های تشخیصی قابل اجرا باشند (۴،۳).

در بین تکنیک‌های موجود برای تشخیص، PCR به عنوان یک تکنیک قابل اعتماد، حساس و دقیق می‌تواند یک روش مناسب در جهت تشخیص و کنترل بیماری‌های ناشی از این پاتوتایپ‌ها باشد. اخیراً، روش‌های PCR برای تشخیص چند ژن در مورد چند پاتوژن با یکدیگر استفاده می‌شود که تکنیکی بسیار حساس و اختصاصی برای شناسایی این پاتوتایپ‌ها می‌باشد (۳).

این مطالعه با هدف طراحی تکنیک PCR تشخیص سریع مولکولی، برای شناسایی پاتوتایپ‌های *E. coli* با استفاده از ژن *aafII* (در تشخیص پاتوتایپ *EAEC*) و با استفاده از ژن‌های *lt* و *st* (در شناسایی پاتوتایپ *ETEC*) انجام شد.

روش بررسی

ژنوم سوش‌های باکتریایی پاتوتایپ‌های *E. enterotoxigenic* و *E. enteropathogenic* از انسستیتو پاستور ایران، تهیه و از آن به عنوان کنترل مثبت در این تحقیق استفاده گردید. لیست و مشخصات باکتری‌های کنترل منفی مورد استفاده در جدول شماره ۱ آورده شده است.

اشرشیاکلی، یکی از مهم‌ترین پاتوژن‌های روده‌ای است که اغلب به عنوان باکتری‌های کومنسال به شمار می‌رود. این باکتری مهم‌ترین علت بیماری‌های روده‌ای و اسهالی است. بیماری‌های اسهالی خود یکی از عوامل اصلی مرگ و میر در میان کودکان ۲/۵ میلیون نفر در اثر این بیماری، جان خود را از دست می‌دهند (۲،۱). باکتری *E. coli* براساس فاکتورهای ویرولانس، به پاتوتایپ‌های مختلف در ۶ گروه شامل: اشرشیاکلی‌های *E. Enterohemorrhagic* *E. enterotoxigenic (ETEC)* *E. Enteropathogenic (EPEC)*، *EHEC* *E. enteroaggregative (EAEC)* *E. enteroinvasive (EIEC)* و *E. diffuse adhering (DAEC)*.. طبقه‌بندی می‌شود (۴،۳). تشخیص و شناسایی هریک از این پاتوتایپ‌ها به بررسی معیارهای اپیدمیولوژی، پاتوبیولوژی و ایجاد تمایز در نوع بیماری‌زایی آنها کمک می‌کند. هریک از این پاتوتایپ‌ها با یک یا چند ژن ویرولانس شناسایی می‌شوند، برای مثال پاتوتایپ *EHEC* (با تولید توکسین همانند شیگا)، به عنوان یک عامل اصلی در ایجاد بیماری‌های اسهالی، با سندرم کولیت هموراژیک (HC) و توکسین همانند شیگا، به عنوان یک عامل اصلی در ایجاد *HUS* در ارتباط است. همچنین این پاتوتایپ، توانایی تولید توکسین‌های وروتوکسین و بیان ژن *eaeA* برای اتصال به پروتئین‌های پوششی را دارا می‌باشد. *EHEC* دارای سروتایپ O157H7 بوده که به عنوان یکی از مهم‌ترین عوامل تهدیدی در ایجاد بیماری به صورت اپیدمی به شمار می‌رود (۶،۵). پاتوتایپ *EPEC* عامل ایجاد بیماری اسهال همراه با تب و استفراغ است که این بیماری اغلب در کودکان کشورهای در حال پیشرفت دیده می‌شود (۷). همچنین پاتوتایپ *ETEC* به عنوان یکی از مهم‌ترین عوامل ایجاد بیماری اسهالی مسافرتی، بیشتر در کودکان کشورهای پیشرفته و یا مناطق فقرینشین بروز می‌کند (۸). پاتوتایپ *ETEC* که اغلب در کودکان گزارش شده، یکی از پاتوتایپ‌های تولید کننده توکسین پوششی به حرارت (heat-labile LT-1 and LT-2) و توکسین مقاوم به حرارت (heat-stable STII، heat-stable STI) است (۹). برای اولین بار، پاتوتایپ *EAEC* در اثر اتصال به سلول‌های HEp-2، شناسایی و

جدول شماره ۱: لیست باکتری‌های استفاده شده به عنوان کنترل منفی

شماره دسترسی	نام ارگانیسم
ATCC 9290	شیگلا سونه‌ای
ATCC 7881	کلبسیلا پنومونیه
ATCC 6051	باسیلوس سوبتاپس
ATCC 25923	استافیلکوکوس ارئوس
ATCC 29212	انتروکوکوس فکالیس
ATCC 700931	سامونولا تیفی

سکانس پرایمراه، مکان آنها بر روی ژنوم و اندازه قطعات تکثیر شده در جدول شماره ۲ نشان داده شده است. به منظور بررسی نهایی پرایمراهی طراحی شده و اطمینان از اختصاصی بودن (Basic Local Alignment Search Tool) آنها از سرویس (BLAST) سایت NCBI (National Center for Biotechnology Information) استفاده گردید.

در این مطالعه، ژن‌های هدف گذاری شده شامل: ژن‌های *lt* و *st* بر روی پلازمیدهای LT و ST در پاتوتایپ ETEC و ژن *aafII* در پاتوتایپ EAEC مورد بررسی قرار گرفت. طراحی پرایمراه به کمک نرم‌افزار CLC Sequence viewer نسخه ۶ و ساخت پرایمراه آن نیز توسط شرکت سیناکلون انجام شد.

جدول شماره ۲: توالی پرایمراه، طول محصول واکنش و دمای واکنش

Pathotype	Targeted gene	نام پرایم	Primer sequence	Tm (°C)	طول محصول	طول (bp)	مرجع
EAEC	<i>aafII</i>	F-aafII	ACTCTCCAGGCTTGCCCCACTGA	۵۹/۸۰	۳۸۴	پژوهش حاضر	
		R-aafII	TGCTGTCGGTATCCTGCGGGA	۵۹/۷۱			
ETEC	<i>eltA (Lt)</i>	F-eltA(Lt)	TGTGCACACGGAGCTCTCA	۵۸/۰۰	۱۸۲	پژوهش حاضر	
		R-eltA(Lt)	TGTTGACTGCCCGGGACTTCG	۵۹/۰۵			
ETEC	<i>STII (St)</i>	F- STII (St)	AGCATGCTTGGCGCCAAA	۵۸/۳۶	۱۵۰	پژوهش حاضر	
		R- STII (St)	CGTCTTGCCTTAGGACATTGTCACA	۵۷/۸۵			

رنگ آمیزی و با ترانسلومیناتور مشاهده شد. لازم به ذکر است واکنش برای هر سه ژن نیز به صورت PCR تکی انجام گرفت. به منظور بررسی ویژگی پرایمراهی ژن‌های *lt* و *st* و *aafII* جهت تشخیص باکتری مورد نظر، واکنش PCR با شرایط فوق بر ژنوم استخراج شده باکتری‌های کنترل منفی انجام شد. همچنین به منظور اطمینان از قابلیت DNA استخراج شده در به کار گیری واکنش PCR و عدم وجود مهار کننده در آن، واکنش PCR بر روی ژن کروموزومی rRNA 16S که در تمام باکتری‌ها وجود دارد، براساس مطالعه Chiang انجام شد (۱۶). به منظور دستیابی به یک روش تشخیص مولکولی مناسب و مطمئن، وجود کنترل مثبت، امری مهم محسوب می‌شود که برای تهیه آن از روش کلونینگ محصولات PCR در وکتور مناسب استفاده گردید. از کیت (ACCU Prep PCR Purification Kit) BIONEER برای آماده سازی و تخلیص محصول واکنش و اتصال محصول واکنش به T وکتور pTZ57R/T مطابق با روش سازنده

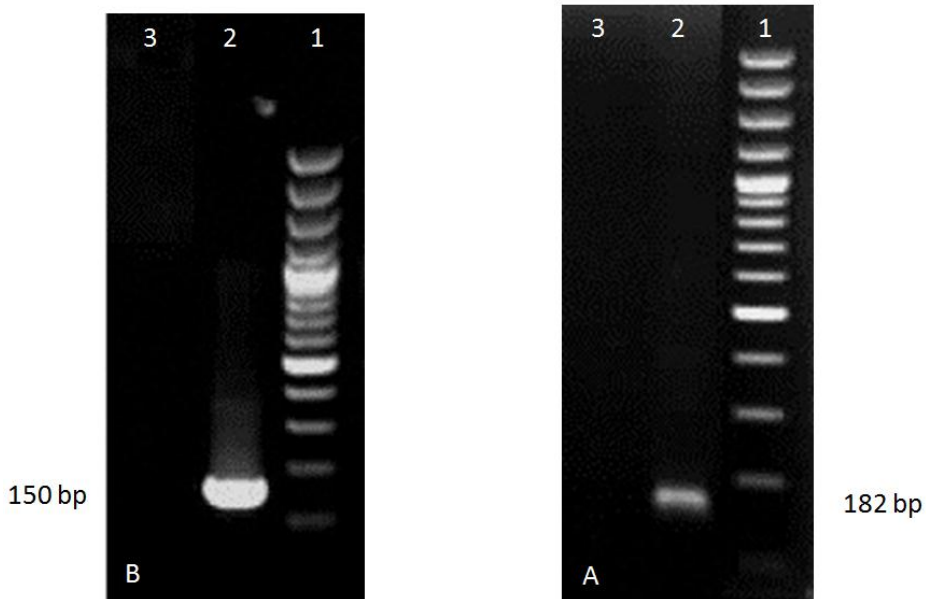
واکنش PCR جهت ارزیابی ۳ ژن هدف *lt*, *st* و *aafII* با شرایط برقراری واکنش در حجم استاندارد ۲۵ میکرولیتر انجام شد. در این حجم ۱/۵ میلی مolar یون منیزیم، ۰/۲ میلی مolar dNTPs، ۱۰۰ نانوگرم ژنوم باکتری، ۰/۵ میکرومolar از پرایمراهی عقبی و ۱ جلویی و ۱ واحد آنزیم Taq DNA Polymerase مورد استفاده قرار گرفت. تکثیر با استفاده از برنامه مشخص برای ۳۵ سیکل در شرایط دمای دناتوراسیون اولیه، ۹۴ درجه سانتیگراد به مدت ۴ دقیقه، سپس ۹۴ درجه سانتیگراد به مدت ۱ دقیقه، دمای اتصال ۶۰ درجه سانتیگراد به مدت ۴۰ ثانیه و دمای تکثیر ۷۷ درجه به مدت ۴۵ ثانیه انجام شد. همچنین یک واکنش ۲۵ میکرولیتری با شرایط مشابه و استفاده از آب دیونیزه به جای ژنوم باکتری به عنوان کنترل منفی صورت گرفت. پس از اتمام واکنش تکثیر، ۷ میکرولیتر از محصول واکنش بر روی ژل آگارز ۱/۵٪ در بافر ۰/۵ با ولتاژ ۱۰۰، الکتروفورز گردید. در نهایت، به منظور رؤیت باند مورد نظر، ژل آگارز با رنگ آتیدیوم بروماید،

پس از انجام واکنش TA کلونینگ در مورد قطعات *st* و *lt*, *aafII*, ابتدا غلظت پلاسمید حاوی اینسرت با اسپکتروفوتومتر، مشخص و سپس جهت تعیین حساسیت واکنش، حداقل تعداد کمی از قطعه موردنظر که بتواند در واکنش PCR باند واضحی ایجاد کند، محاسبه گردید. به این ترتیب برای محاسبه حد تشخیص رقت‌های متوالی 10^{-1} – 10^{-3} حاوی ایترزت با غلظت مشخص تهیه شد. پس از انجام واکنش PCR روی رقت‌های متوالی پلاسمید، کمترین رقتی از آن که باند مشخص و واضحی را نشان داد، به عنوان حد تشخیص تعیین گردید. برای برس میزان اختصاصیت با پرایمرهای طراحی بر روی ژنوم باکتری کنترل منفی، واکنش PCR انجام گرفت.

یافته‌ها

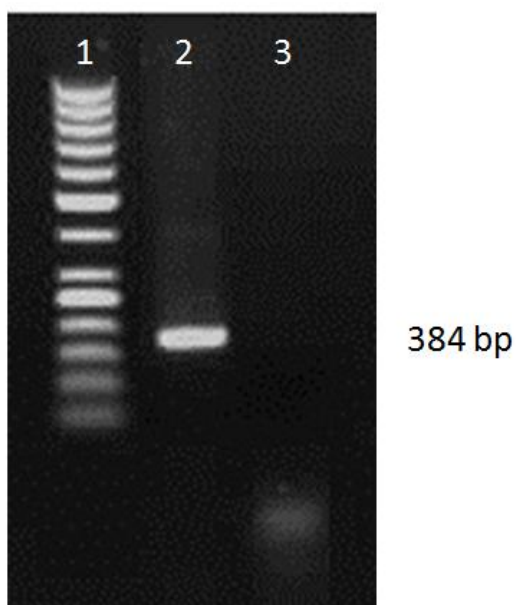
واکنش PCR مربوط به ۶ ژن *st* و *lt* و *aafII* و نتایج واکنش PCR مربوط به ۳ ژن در دو شرایط Uniplex، تکثیریافته *st* و *lt* و *aafII* به ترتیب با طول ۱۸۲ bp، ۱۵۰ bp، ۳۸۴ bp، بر روی ژل مشخص گردید (شکل شماره ۱ و ۲).

کیت کلونینگ (InstAclone PCR Cloning kit) Fermentas E. coli JM 107 گرفت. پس از آمده‌سازی باکتری پذیرای *E. coli* Luria-Bertani agar (Merk) حاوی ۵-برومو-۴-کلرو-۳-ایندولیل بتا دی تیوگالاکتو پیرانوزید با غلظت [Isopropyl β-D-1-thiogalactopyranoside; IPTG] (Ferments) با غلظت ۳۸/۴ میکروگرم بر میلی‌لیتر، آمپی‌سیلین با غلظت ۱۰۰ میکروگرم بر میلی‌لیتر و نالیداکسیک اسید با غلظت ۵۰ میکروگرم بر میلی‌لیتر کشت داده شدند. ارزیابی اولیه کلونینگ، براساس انتخاب پرگاه‌های سفید به عنوان موارد کنترل منفی انجام گرفت. جهت تأیید موارد مثبت و منفی، پس از تهیه ماتریکس از کشت‌های اولیه، واکنش Colony-PCR با شرایط ذکر شده در بالا برای هریک از ژن‌ها انجام شد. همچنین به منظور تأیید نهایی کلون‌های دریافت‌کننده اینسرت، پس از استخراج پلاسمید با استفاده از کیت (ACCU Prep Plasmid Mini Extraction Kit) Bioneer، انجام شد. پلازمیدهای حاوی ژن‌های مورد نظر pTZ57R/T *aafII* و pTZ57R/T *st* و pTZ57R/T *lt* دارای ژن‌های *st* و *lt* و *aafII* می‌باشد.



شکل شماره ۱: محصول واکنش برای پاتوتایپ ژن‌های *st* و *lt* ETEC

شکل B: مربوط به ژن *st* با اندازه محصول مورد نظر ۱۵۰ باز و شکل A: مربوط به ژن *lt* با اندازه محصول مورد نظر ۱۸۲ باز می‌باشد.

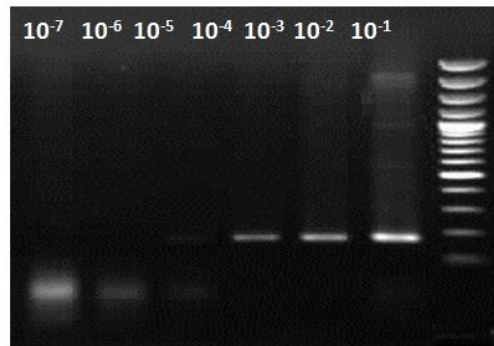
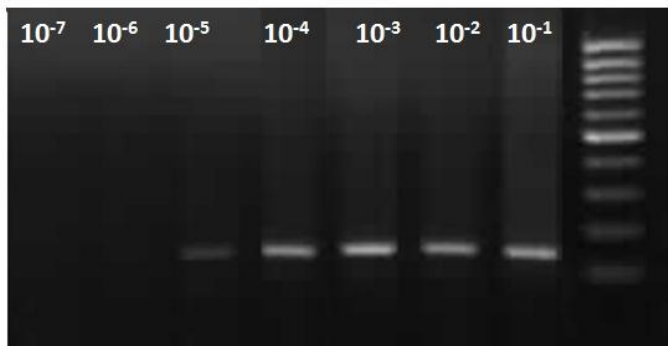


شکل شماره ۲: محصول واکنش برای پاتوتایپ EAEC ژن *aafII* که نشان‌دهنده تکثیر ۳۸۴ باز نمونه می‌باشد.

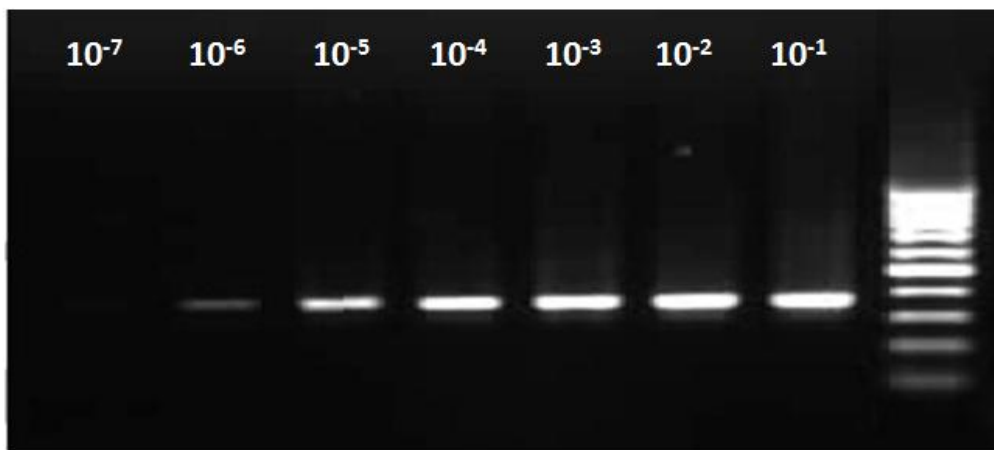
آخرین رقت از پلاسمید pTZ57R/T-aafII این عدد 10^{-5} را نشان می‌دهد که پرایمرهای طراحی شده قادر به ردیابی ۲۵۰۰ کپی از ژنوم در یک واکنش PCR ۲۵ مایکرولیتری هستند، در مورد پلاسمید 10^{-4} pTZ57R/T-st، 10^{-3} pTZ57R/T-lt، پلاسمید 10^{-3} pTZ57R/T-aafII هستند. تعداد کپی قابل تشخیص مربوط به این ژن‌ها با پرایمرهای طراحی شده، قادر به ردیابی به ترتیب ۳۹۰ و ۱۵۰۰ کپی از ژن‌های هدف در یک واکنش PCR ۲۵ مایکرولیتری هستند (شکل‌های شماره ۳ و ۴). با توجه به نتایج حاصل و با استفاده از فرمول ذکر شده، کمترین تعداد کپی قابل تشخیص مربوط به هر دو ژن تعیین گردید.

واکنش PCR مربوط به ژن *st* و *lt* در تمام باکتری‌های کنترل منفی، باندی را ایجاد نکرد تا نشان‌دهنده ویژگی واکنش PCR در این مطالعه باشد. همچنین مثبت شدن واکنش PCR مربوط به ژن یونیورسال 16S rRNA با طول ۴۷۵bp محضور ژنوم استخراج شده قابل PCR را تأیید کرد.

واکنش PCR بر روی کلون‌های دریافت‌کننده اینسерт (کنترل مثبت) در مورد ژن‌های *st* و *lt* و *aafII* که به ترتیب pTZ57R/T-aafII و pTZ57R/T-lt و pTZ57R/T-st نامگذاری شده‌اند، مطابق انتظار بر روی ژل آگارز، باندهای مورد نظر را ایجاد کرده است.



شکل شماره ۳: میزان حد تشخیص برای ژن‌های *lt* و *st* را در پاتوتایپ ETEC که 10^{-4} برای *st* در شکل A و 10^{-3} برای *lt* در شکل B را نشان می‌دهد.



شکل شماره ۴: کمترین میزان تشخیص برای پاتوتایپ EAEC که 10^{-6} محاسبه شده است.

اهمیت داده شده است. در برخی مطالعات مانند مطالعه Roberto و همکاران (سال ۲۰۰۴) در بررسی پاتوتایپ‌های این باکتری در تست طراحی شده، اندازه باندها بسیار بهم نزدیک و در مواردی قابل تفکیک از یکدیگر نیستند (۳-۷). همچنین در این بررسی اختصاصیت پرایمرها با نمونه‌های ژنومی برخی از باکتری‌های خانواده انتروباکتریاسه به عنوان کنترل منفی (که باعث ایجاد بیماری مشابه می‌شود) واکنش نشان نداد. بعد از بهینه‌سازی تست، محصول واکنش PCR در داخل پلازمید pTZ57R/T، کلون گردید و در این مطالعه به عنوان کنترل مثبت در نظر گرفته شد. در یک مطالعه مشابه دیگر که توسط Paton و همکاران (سال ۲۰۰۲) انجام شد برای کنترل مثبت تست، از DNA ژنومیک استفاده گردید (۱۲). نقطه ضعف در این تست، محدودیت آن با توجه به نایابی اربودن و شکنندگی بودن DNA ژنومیک بوده که باعث می‌گردد تهیه رقت سریال به خوبی انجام نشود. با کلون کردن نمونه در داخل پلازمید علاوه بر استفاده به عنوان کنترل مثبت، امکان بررسی مقادیر دقیق پلازمید نیز فراهم می‌شود.

در مطالعه حاضر، برای ارزیابی حساسیت تست، کمترین میزان تشخیص (LOD) بررسی گردید. در این روش برخلاف اغلب مطالعات که از CFU (Colony Forming Unit) برای بررسی و تعیین واحدهای کلونی‌ساز استفاده می‌شود پس از کشت باکتری و بررسی میزان OD محیط کشت، از محیط رقت تهیه شده و واکنش PCR استفاده شد که مهم‌ترین نقطه ضعف این روش، نیازمندی به باکتری زنده است.

بحث

اشرشیاکلی به عنوان یک عامل مهم در ایجاد بیماری‌های اسهالی در سرتاسر دنیا به شمار می‌رود. تشخیص پاتوتایپ‌های این باکتری، نیازمند شناسایی فاکتورهای ویرولانس برای بررسی میزان مرگ و میر ناشی از این پاتوتایپ‌ها مهم است (۳). مطالعات مشابه نشان می‌دهد روش‌های مختلفی برای شناسایی این پاتوتایپ‌ها از جمله استفاده از تکنیک مولکولی PCR (به صورت اختصاصی) وجود دارد (۱۲). در این مطالعه یک تست بسیار حساس PCR که به منظور تشخیص این سه ژن در این دو پاتوتایپ در یک واکنش است، طراحی گردید. تکنیک PCR یک تکنیک بسیار اختصاصی و با حساسیت بالا در مقایسه با تست‌های سنتی بوده که برای تشخیص فاکتورهای ویرولانس این پاتوتایپ‌ها به کار می‌رود (۱۳). در تست طراحی شده، شناسایی ژن‌های st و lt در پاتوتایپ ETEC و ژن aafII در پاتوتایپ EPEC امکان‌پذیر بود. این تکنیک برای تشخیص همزمان فاکتورهای ویرولانس در پاتوتایپ‌ها این باکتری بسیار مناسب است. مهم‌ترین بخش کار در این مطالعه، طراحی پرایمر بود که برای ژن st از ۲۰ سکانس و برای ژن lt، ۲۵ سکانس استفاده شد. ژن aafII از ۱۵ سکانس که از بانک اطلاعاتی NCBI گرفته شده بود با نرم‌افزارهای مربوطه همسان‌سازی شد و براساس نواحی کانسر و پرایمر، برای هریک از این ژن‌ها طراحی گردید. مهم‌ترین نکه در طراحی تست؛ عدم ایجاد پرایمر دایمی، باندهای اضافی و داشتن دمای اتصال یکسان برای پرایمرها بود که باید توجه کرد در این تست در مقایسه با سایر مطالعات دیگر به آن

یکدیگر به وسیله تست‌های انجام شده و با بررسی میزان اختصاصیت و حساسیت تکنیک طراحی شده، می‌توان از آن برای تشخیص در کلینیک و در گام بعدی به عنوان یک کیت تشخیصی در مرکز درمانی (برای تشخیص بیماری‌های حاصله از این پاتوتایپ) استفاده کرد. با ارائه این تست به عنوان یک معیار در تشخیص می‌توان گام رو به جلو برای موفقیت و پیشرفت در تشخیص عوامل عفونی مهم برداشت.

تشکر و قدردانی

بدین وسیله از تمامی مسئولان و کارکنان دانشگاه آزاد اسلامی و آزمایشگاه میکروب‌شناسی، واحد قم که ما را در انجام این مطالعه یاری نمودند تشکر می‌نماییم.

بعد از کلون کردن نمونه‌ها و آماده‌شدن پلازمیدهای در نهایت در حجم واکنش ۲۵ میکرولیتری، میزان LOD برای ژن *stf* ۳۹۰ کپی، برای *lt* ۱۵۰۰ کپی و برای *aafII* برابر با ۲۵۰۰ کپی به دست آمد (۱۵). در مطالعات Nguyan و همکاران (سال ۲۰۰۵)، میزان تشخیص واکنش برای تست طراحی شده برابر با 10^3 CFU محاسبه شد (۱۴). همچنین در مطالعات KONG و همکاران (در سال ۱۹۹۹) نیز میزان حد تشخیص تست برای شناسایی این پاتوتایپ‌ها در هر میلی‌لیتر برابر با 10^6 CFU به دست آمد (۶).

نتیجه‌گیری

نتایج این مطالعه نشان داد با طراحی این تکنیک برای تشخیص پاتوتایپ‌های اشرشیاکلی و برای تفکیک این پاتوتایپ‌ها از

References:

1. Makobe CK, Sang WK, Kikuvi G, Kariuki S. Molecular characterization of virulence factors in diarrhoeagenic *Escherichia coli* isolates from children in Nairobi, Kenya. *J Infect Dev Ctries* 2012;6(8):598-604.
2. Harrington SM, Dudley EG, Nataro JP. Pathogenesis of enteroaggregative *Escherichia coli* infection. *FEMS Microbiol Lett* 2006;254(1):12-8.
3. Vidal R, Vidal M, Lagos R, Levine M, Prado V. Multiplex PCR for diagnosis of enteric infections associated with diarrheagenic *Escherichia coli*. *J Clin Microbiol* 2004;42(4):1787-89.
4. Morin N, Santiago AE, Ernst RK, Guillot SJ, Nataro JP. Characterization of the AggR regulon in enteroaggregative *Escherichia coli*. *Infect Immun* 2013;81(1):122-32.
5. Ke Xin Yu, Thong KL. Multiplex PCR for simultaneous detection of virulence genes in *Escherichia coli*. *Malaysian J Sci* 2009;28(1):1-14.
6. Kong RYC, So CL, Law WF, Wu RSS. A sensitive and versatile multiplex PCR system for the rapid detection of enterotoxigenic(ETEC),enterohemorrhagic (EHEC) and enteropathogenic (EPEC) strains of *Escherichia coli*. *Marine Pollution Bull* 1999;38:1207-15.
7. Vidal M, Kruger E, Durán C, Lagos R, Levine M, Prado V, et al. Single multiplex PCR assay to identify simultaneously the six categories of diarrheagenic *Escherichia coli* associated with enteric infections. *J Clin Microbiol* 2005;43(10):5362-65.
8. Trabulsi LR, Keller R, Tardelli Gomes TA. Typical and atypical enteropathogenic *Escherichia coli*. *Emerg Infect Dis* 2002;8(5):508-13.
9. Guion CE, Ochoa TJ, Walker CM, Barletta F, Cleary TG. Detection of diarrheagenic *Escherichia coli* by use of melting-curve analysis and real-time multiplex PCR. *J Clin Microbiol* 2008;46(5):1752-7.
10. Miqdady MS, Jiang ZD, Nataro JP, DuPont HL. Detection of enteroaggregative *escherichia coli* with formalin-preserved HEp-2 Cells. *J Clin Microbiol* 2002;40(8):3066-67.

11. Soleimani M, Morovvati A, Hosseini SZ, Zolfaghari MR. Design of an improved multiplex PCR method for diagnosis of enterohaemoragic E.coli and enteropathogenic E.coli pathotypes. *Gastroenterol Hepatol Bed Bench* 2012;5(2):106-11.
12. Paton AW, Paton JC. Multiplex PCR for direct detection of shiga toxicigenic escherichia coli strains producing the novel subtilase cytotoxin. *J Clin Microbiol* 2005;43(6):2944-7.
13. Nguyen TV, Le Van P, Le Huy C, Gia KN, Weintraub A. Detection and characterization of diarrheagenic Escherichia coli from young children in hanoi, vietnam. *J Clin Microbiol* 2005;43(2):755-60.
14. Arif S, Salih LIF. Identification of different categories of diarrheagenic escherichia coli in stool samples by using multiplex PCR technique. *Asian J Med Sci* 2010;2(5):237-43.
15. Sharifi Yazdi MK, Akbari A, Soltan DMM. Multiplex polymerase chain reaction (PCR) assay for simultaneous detection of shiga-like toxin (stx1 and stx2), intimin (eae) and invasive plasmid antigen H(ipaH) genes in diarrheagenic Escherichia coli. *African J Biotechnal* 2011;10(2):1522-6.
16. Chiang YC, Yang CY, Li C, Ho YC, Lin CK, Tsen HY. Identification of *Bacillus* spp., *Escherichia coli*, *Salmonella* spp., *Staphylococcus* spp. and *Vibrio* spp. with 16S ribosomal DNA-based oligonucleotide array hybridization. *Int J Food Microbiol* 2006;107(2):131-7.

Original Article

Design and Optimization of PCR Assay for Rapid Detection of Enterotoxigenic and Enteroaggregative Pathotypes of E. coli

Mohammad Soleimani¹, Abbas Morovvati^{2*}, Ali Javadi³

¹Department of Microbiology, Qom Branch, Islamic Azad University, Qom, Iran.

²Department of Microbiology, Young Researchers & Elite Club, Qom Branch, Islamic Azad University, Qom, Iran.

³Department of Pathobiology, Faculty of Public Health, Tehran University of Medical Sciences, Tehran, Iran.

***Corresponding Author:**
Abbas Morovvati,
Department of Microbiology,
Qom Branch, Islamic Azad
University, Qom, Iran.

Email:
abbasmorovvati@gmail.com

Received: 21 Dec, 2015

Accepted: 14 Mar, 2016

Abstract

Background and Objectives: *Escherichia coli* is one of the most important causative agents of acute diarrheal disease in the world. Diarrheal diseases are one of the main causes of mortality among children in developing countries. The aim of this study was to develop a PCR technique for diagnosis of specific virulence genes of Enterotoxigenic *E. coli* (ETEC) and Enteroaggregative *E. coli* (EAEC).

Methods: In this study, specific genes ST and LT were used for diagnosis of ETEC pathotype and AAF/II specific gene was used for diagnosis of EAEC pathotype. The PCR technique was designed and optimized for these three genes. The reaction products were cloned in pTZ57R/T vector as positive control. The primers' sensitivity was determined by measurement of detection limit, and primers' specificity was evaluated using other bacterial genomes.

Results: According to the results of the PCR products analysis using agarose gel electrophoresis, the bands for AAF/II, LT, and ST were obtained 384, 459, and 150 bp, respectively. Also, the reaction of the genomes of control bacteria using the designed primers was negative. The detection limit based on copy number for ST, LT, and genes, was obtained 390, 1500, and 2500 copies, respectively.

Conclusion: Considering the findings of this study, design of these assays in Iran is a progress in the improving rapid and accurate diagnosis of pathogens and detection of *E. coli* pathotypes.

Keywords: *Escherichia coli*; Polymerase chain reaction; Dysentery.